



12-13-IB-CN-178

Otro aspecto de otro sinclinal de cuarcitas (γ)
con cruzianas a la altura de Otero de Bodas



12-13-IB-CN-179

Vista del valle de Otero de Bodas entre dos -
resaltes cuarcíticos pertenecientes a la cuarcita (γ) que se apoyan sobre el "Ollo de Sapo"
y a la cuarcita arenigiense O_{12}^2 a la derecha



12-13-IB-CN-180

Cierre sinclinal en cuarcitas (γ) suprayacentes
al "Ollo de Sapo" a la altura de Otero de Bodas



12-13-IB-CN-182

Núcleo de sinclinal definido por las cuarcitas
armoricanas O_{12}^2 (Formación Culebra). En primer
término el glacis generalizado $T_{2-Q_2}^B$ que se in-
denta insensiblemente con el pie de monte Q_2^C .



12-13-IB-CN-183

Núcleo de estructura anticlinal definido por cuar
citas alvigienses O_{12}^2 (Formación Culebra), obser
vándose en la parte central izquierda una terra
za $Q_1 T_5$ y el glacis generalizado $T_2^{B-Q_1}$ que se -
une con el pie de monte $Q_2 C$.



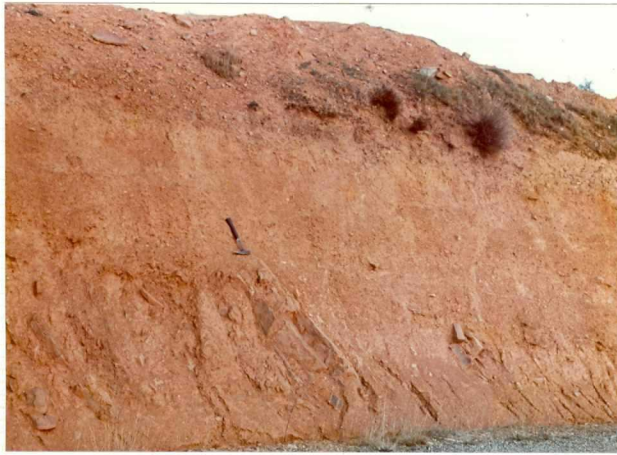
12-13-IB-CN-184

Otro aspecto de los cerros e islas al sur de Litos (Sierras) definidos por la cuarcita armoricana (Formación Culebra) O_{12}^2 rodeada por un extenso glacis $T_2 B-Q_1$ que parte directamente del pie de monte $Q_2 C$



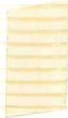
12-13-IB-CN-185

Detalle del aspecto del glacis T_2 ^{B-Q}₁ un contacto directo con las pizarras asalmonadas ferruginosas del O_{2-3} , en las proximidades de Tábara.



12-13-IB-CN-186

Pie de monte Q_2C recubriendo los afloramientos - cuarcíticos de la falda de ese cerro isla definido por las cuarcitas armoricanas O_1^2



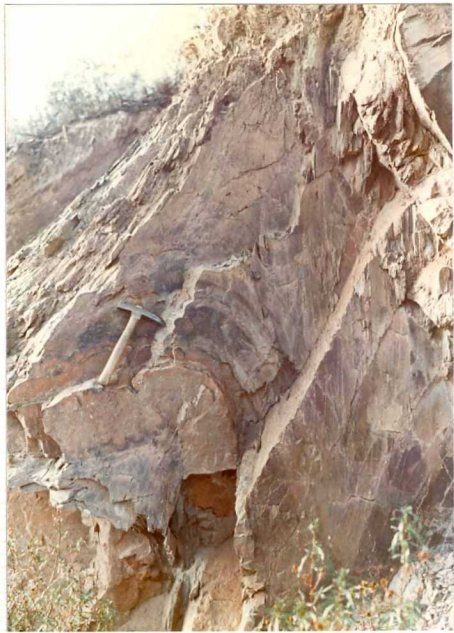
12-13-IB-CN-187

Núcleo anticinal arrasado por la acción del hom
bre en cuarcitas arenigienses O_{12}^2



12-13-IB-CN-188

Interferencia del plano de estratificación So con
la esquistosidad de fractura en Sn en las alter-
nancias cuarzo-pelíticas del Ordovícico Inferior o_{12}^2



12-13-IB-CN-189

Megamiento en material cuarzo-pelítico O_{12}^2 con es
quistosidad de fractura en abanico de ligera ver-
gencia al NE. Afecta a un núcleo de pliegue ante-
rior de carácter tangencial.



12-13-IB-CN-190

Otro aspecto del plegamiento con la esquistosidad S_2 , claramente manifestada por la alineación marrada en los niveles cuarcíticos.



12-13-IB-CN-191

Plegamiento isoclinal de vergencia NE con esquisto
sidad S_2 y otra S_3 definida por F_3 en O_{12}^2



12-13-IB-CN-192

Detalle de charnela anticlinal desarrollada en las
cuarcitas americanas O_{12}^2



12-13-IB-CN-193

Aspecto de los canchales cuarcíticos O_{12}^2 desarro--
llados a expensas de la fracturación en proximidad
a los afloramientos colindantes de los cerros o -
sierras.



12-13-IB-CN-194

Alternancias cinemétricas de cuarcitas y cuarzo
filitas de los tramos terminales de las cuarci-
tas armoricanas (O_{12}^2)



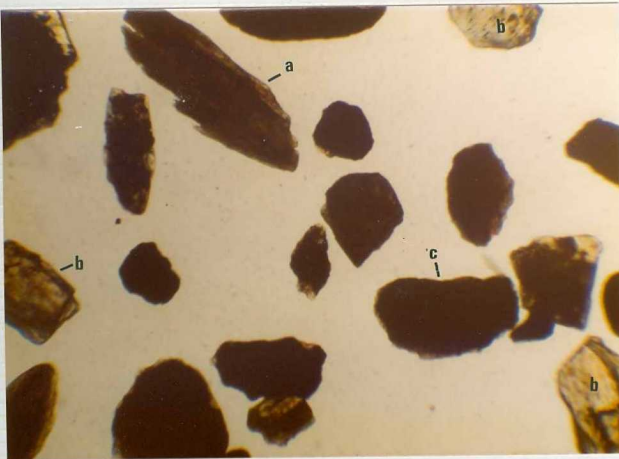
12-13-IB-CN-195

Cruciana jurcífera y otras huellas en las cuar-
citas armorianas $\frac{2}{12}$ de Peña Escoba al sur de
Rúbrica de Valverde.

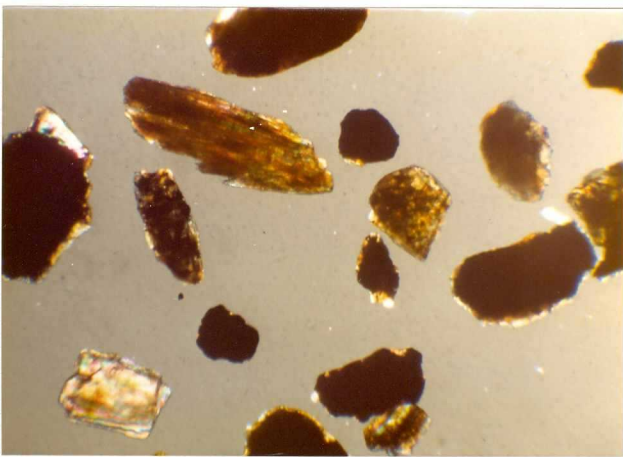


12-13-IB-CN-196

Pie de monte Q_2^C en paso progresivo y paulatino
a un glacis actualmente regresivo $T_2^{B-Q_1}$ en el -
Valle de Tábara.



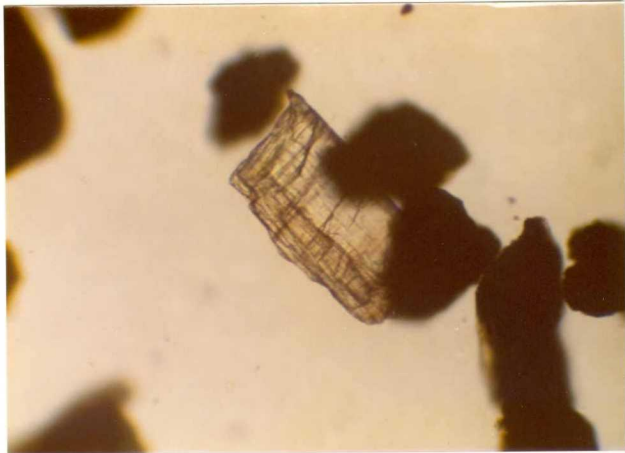
12-13-IB-MA-1066.- a) Sillimanita. b) Andalucita. c) Opacos. (L.N). 10 oc. x 5 ob.



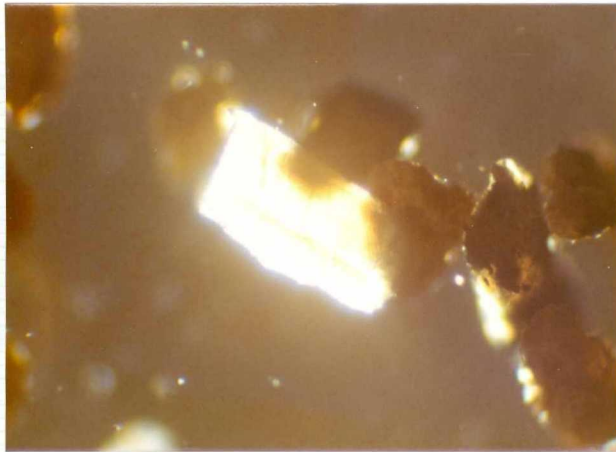
12-13-IB-MA-1066.- Idem con luz polarizada (L.P.). 10 oc.
x 5 ob.



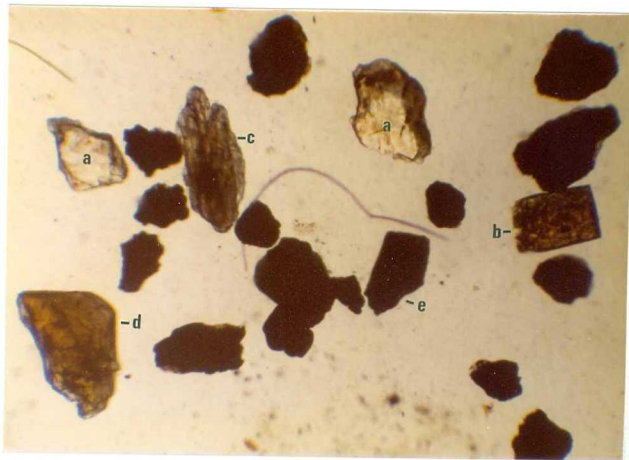
12-13-IB-MA-1067.- a) Andalucita rosa en posición de máximo pleocroismo. (L.N.). 10 oc. x 5 ob.



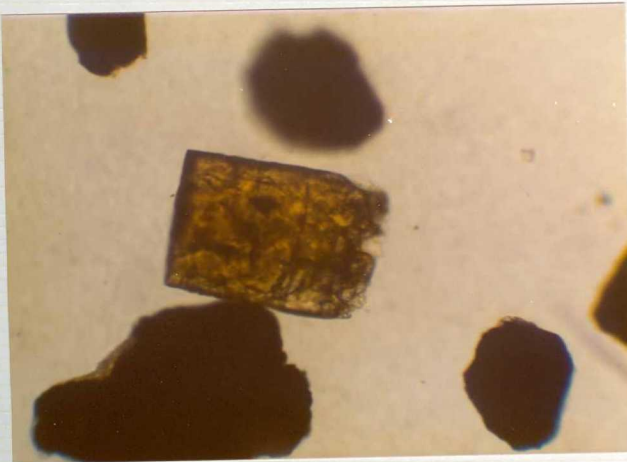
12-13-IB-MA-1070.- Distena con sus dos sistemas de líneas de foliación perpendiculares. (L.N). -
10 oc. x 10 ob.



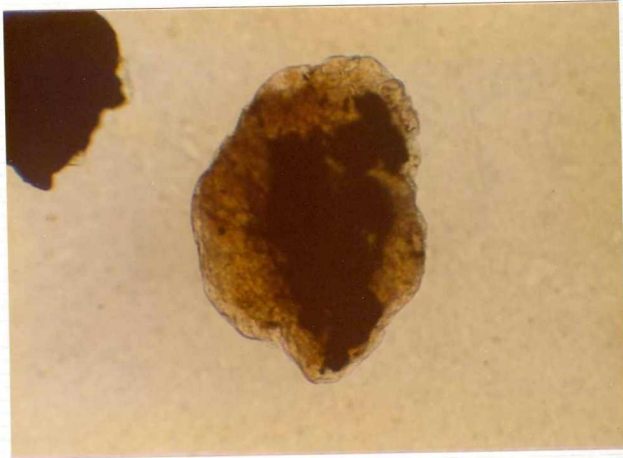
12-13-IB-MA-1070.- El mismo ejemplar de la foto anterior -
con luz polarizada. (L.P.). 10 oc. x -
10 ob.



12-13-IB-MA-1081.- a) Andalucita. b) Estaurolita. c) Silimanita. d) Turmalina. e) Opacos. - (L.N.). 10 oc. x 5 ob.



12-13-IB-MA-1081.- Estaurolita con su típico color pardo-amarillento. (L.N.). 10 oc. x 10 ob.



12-13-IB-MA-1081.- Biotita en proceso de desferrificación.
(L.N.). 10 oc. x 10 ob.



12-13-IB-MA-1088.- a) Andalucita. b) Turmalina. c) Opacos.
(L.N.). 10 oc. x 5 ob.



12-13-IB-MA-1147.- a) Andalucita. b) Turmalina. c) Circón.
d) Opacos.



12-13-IB-MA-1160

Sedimentos terciarios con intercalaciones de
conglomerados cruzados por el nivel de terra
za $Q_1 T_5$. ($T_{C11-C12}^{Bc-Bc'}$)



12-13-IB-MA-1161

Llanura aluvial del río Tera $Q_2 Al_2$, al fondo
cruzamiento por distintos niveles de terrazas



12-13-IB-MA-1162

Valle aluvial $Q_2 Al$, del río Castrón. Al fondo depósitos terciarios con diversos niveles de aterrazamiento siendo el $Q_1 T_5$ el más superior.



12-13-IB-MA-1163

Valle aluvial del río Castrón $Q_2 Al$, El talud de
materiales del terciario cruzados por el nivel
de terraza $Q_1 T_5$. ($T_{C11-C12}^{Bc-Bc'}$)



12-13-IB-MA-1164

Aspecto general del relleno de Valle Q_2 Ca



12-13-IB-MA-1165

Detalle de las facies de megacristales del
"Ollo de Sapo" PC-CAζ



12-13-IB-MA-1166

Valle aluvial que se prolongaría desde Olleros de Tera hasta Otero de Bodas. Al fondo el relieve paleozoico causado por cuarcitas y pizarras, (o¹) y (p)



12-13-IB-MA-1167

Afloramiento de "Ollo de Sapo" facies de mega-
cristales PC-CA ζ fosilizados por materiales se
dimentarios terciarios.



12-13-IB-MA-1168

Detalle de la serie del Terciario $T_{C11-C12}^{Bc-Bc'}$ y
superiormente el nivel de terraza $Q_1 T_5$



12-13-IB-MA-1169

Aluvial que desciende hasta Olleros de Tera, con
niveles de terrazas escalonadas



12-13-IB-MA-1170

Intercalación de areniscas en el Terciario con
un nivel fino de arcillas $T_{C-11-c12}^{Bc-Bc}$

12-13-IB-MA-1171

Detalle de la terraza Q₁T₅, en la que se observan cantos planos orientados

